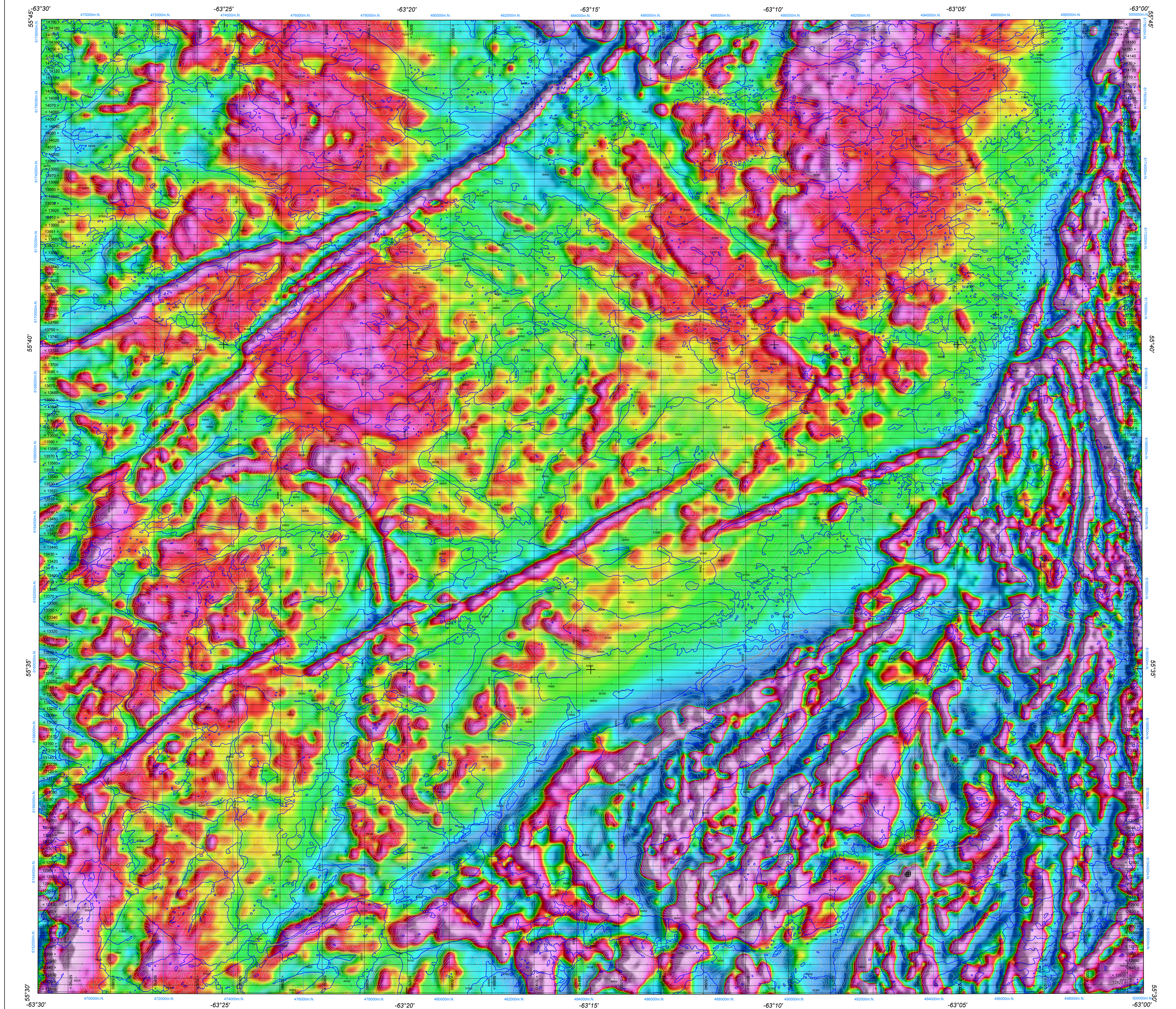


FIRST VERTICAL DERIVATIVE OF THE MAGNETIC FIELD

DÉRIVÉE PREMIÈRE VERTICALE DU CHAMP MAGNÉTIQUE



First Vertical Derivative of the Magnetic Field

This map of the first vertical derivative of the magnetic field was compiled from data acquired during an aeromagnetic survey carried out by Geo Data Solutions (GDS) Inc. and Orsis Geoscience International during the period from February 18 to April 16, 2012. The data were recorded using a split-beam cesium magnetometer (sensitivity = 0.005 nT) mounted in the tail boom of each of three Piper Navajo aircraft. The nominal traverse and control line spacing were respectively 200 m and 1 200 m, and the aircraft flew at a nominal terrain clearance of 80 m. Traverse lines were oriented E-W with orthogonal control lines. The flight path was recovered following post-flight differential corrections to the raw Global Positioning System data and inspection of ground images recorded by a vertically-mounted video camera. The survey was flown on a pre-determined flight surface to minimize differences in magnetic values at the intersections of control and traverse lines. These differences were then analyzed to obtain a mutually leveled set of high-line magnetic data. The leveled values were then interpolated to a 50 m grid. The International Geomagnetic Reference Field (IGRF) defined at an altitude of 615 m for the year 2012.202 was then removed. Removal of the IGRF, representing the magnetic field of the Earth's core, produces a residual component related essentially to the magnetizations within the Earth's crust.

Dérivée première verticale du champ magnétique

Cette carte de la dérivée première verticale du champ magnétique a été compilée à partir de données acquises lors d'un levé aéromagnétique effectué par Geo Data Solutions (GDS) Inc. et Orsis Geoscience International pendant la période du 18 février au 16 avril 2012. Les données ont été recueillies au moyen d'un magnétomètre à vapeur de césium partagé (sensibilité de 0,005 nT) installé dans la pouce de queue de chacun de trois avions Piper Navajo. L'équipement nominal des lignes de vol était de 200 m et celui des lignes de contrôle, de 1 200 m. L'avion volait à une hauteur nominale au-dessus du sol de 80 m. Les lignes de vol étaient orientées E-W, perpendiculairement aux lignes de contrôle. La trajectoire de vol a été restituée par l'application après le vol de corrections différentielles aux données brutes du système GPS et par inspection d'images du sol enregistrées au moyen d'une caméra vidéo installée à l'avant. Les différences de valeurs magnétiques aux intersections des lignes de contrôle et des lignes de vol ont été analysées afin de produire un jeu de données nivelées sur un champ magnétique à long terme de la ligne de vol. Ces valeurs nivelées ont ensuite été interpolées suivant un quadrillage à maille de 50 m, puis le champ géomagnétique international de référence (IGRF) défini à une altitude de 615 m pour l'année 2012.202 a été soustrait. La soustraction de l'IGRF, qui représente le champ magnétique du noyau terrestre, fournit une composante résiduelle essentiellement liée à l'aimantation de la croûte terrestre.

The first vertical derivative of the magnetic field is the rate of change of the magnetic field in the vertical direction. Computation of the first vertical derivative removes long-wavelength features of the magnetic field and significantly improves the resolution of closely spaced and superposed anomalies. A property of first vertical derivative maps is the coincidence of the zero-value contour with vertical contacts at high magnetic latitudes (Hood, 1965).

La dérivée première verticale du champ magnétique représente le taux auquel varie le champ magnétique suivant la verticale. Le calcul de la dérivée première verticale supprime les composantes de grande longueur d'onde du champ magnétique et améliore considérablement la résolution des anomalies rapprochées et superposées. Une des propriétés des cartes de la dérivée première verticale est la coïncidence de la courbe de valeur zéro et des contacts verticaux aux hautes latitudes magnétiques (Hood, 1965).

Keating Correlation Coefficients

This pattern recognition technique (Keating, 1995) for identifying roughly circular anomalies consists of computing the correlation coefficient, over a moving window, between a vertical cylinder model anomaly and the gridded magnetic data. Results above a correlation coefficient threshold of 80% were depicted as circular symbols, scaled to reflect the correlation value. The most favourable targets are those that exhibit a cluster of high correlation coefficients. The cylinder model parameters for the survey are as follows: diameter: 200 m; infinite length; depth: 120 m; magnetic inclination: 76°N; magnetic declination: 23°W; window size: 1000 m x 1000 m.

Coefficients de corrélation Keating

Cette technique de reconnaissance de forme (Keating 1995) pour l'identification d'anomalies plus ou moins circulaires consiste à calculer le coefficient de corrélation dans une fenêtre mobile entre le modèle d'une anomalie d'un cylindre vertical et les données magnétiques de la grille. Les résultats qui ont un coefficient de corrélation supérieur à un seuil de 80% sont montrés sous forme de cercles ayant une dimension reflétant leur valeur de corrélation. Les cibles les plus favorables sont celles qui présentent des groupements de coefficients de corrélation élevés. Les paramètres du modèle du cylindre sont les suivants pour ce levé : diamètre 200 m, longueur infinie, profondeur : 120 m, inclinaison magnétique : 76°N, déclinaison magnétique : 23°W, fenêtre : 1000 m x 1000 m.

Digital versions of this map can be downloaded, at no charge, from Natural Resources Canada's Geoscience Data Repository (MRAGE) at <http://mrage.nrcan.gc.ca/mrage/>. Corresponding digital profile and gridded data as well as similar data for adjacent airborne geophysical surveys are available from Natural Resources Canada's Geoscience Data Repository for Aeromagnetic data at <http://gdr.nrcan.gc.ca/geomatics/>. The same products are also available for a fee from the Geophysical Data Centre, Geological Survey of Canada, 615 Booth Street, Ottawa, Ontario K1A 0E9. Telephone: (613) 995-5326, email: geomatics@nrcan.gc.ca.

A digital version of this map can also be downloaded, at no charge, from the Web site of the Department of Natural Resources, Newfoundland and Labrador, either on its Open File page at http://www.nrcan.gc.ca/geomatics/publications/latest_publications or on its Geoscience Online page at <http://gso.nrcan.gc.ca/>.

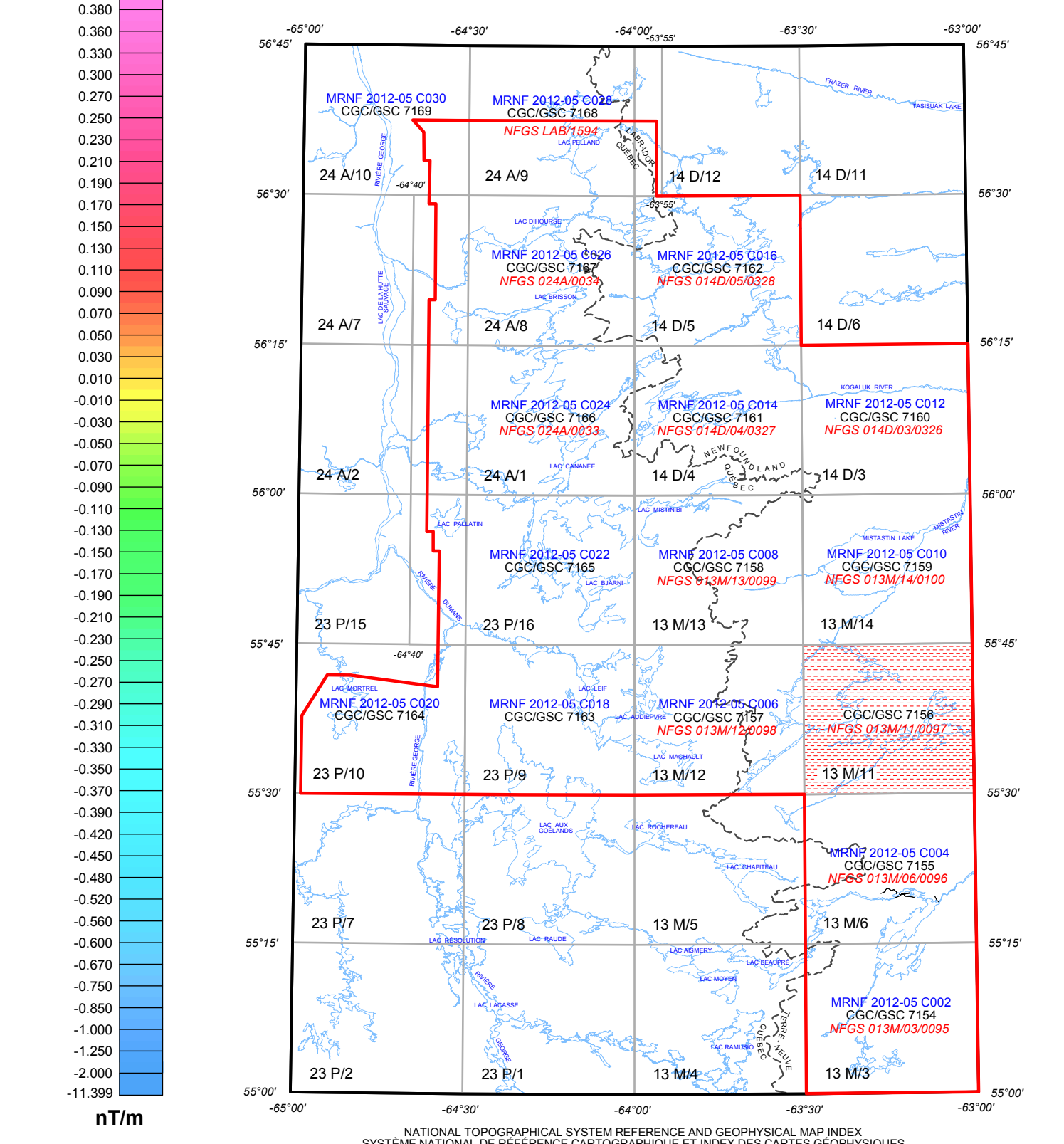
A digital version of this map can also be downloaded, at no charge, from the Web site of the Department of Natural Resources, Newfoundland and Labrador, either on its Open File page at http://www.nrcan.gc.ca/geomatics/publications/latest_publications or on its Geoscience Online page at <http://gso.nrcan.gc.ca/>.

References / Références

- Hood, P. J., 1965. Gradient measurements in aeromagnetic surveying: Geophysics, v. 30, p. 891-902.
- Keating, P., 1995. A simple technique to identify magnetic anomalies due to kimberlite pipes. Exploration and mining geology, v. 4, no. 2, p. 121-125.

COEFFICIENTS KEATING	KEATING COEFFICIENTS
Positive Correlation	Corrélation positive
Negative Correlation	Corrélation négative

PLANIMETRIC SYMBOLS	SYMBOLES PLANIMÉTRIQUES
Topographic Contour	Courbe de niveau
Territory Boundary	Limite du territoire
Drainage	Drainage
Road	Route
Flight Line	Ligne de vol



AEROMAGNETIC SURVEY MISTASTIN BATHOLITH / LEVÉ AÉROMAGNÉTIQUE DE LA RÉGION DU BATHOLITE DE MISTASTIN

OPEN FILE / DOSSIER PUBLIC
7156
 GEOLOGICAL SURVEY OF CANADA / COMMISSION GÉOLOGIQUE DU CANADA
 2012
 SHEET 2 OF 2 / FEUILLET 2 DE 2
 Newfoundland and Labrador Department of Natural Resources, Geological Survey Open File 013M/11/0097

This aeromagnetic survey and the production of this map were partly funded by the Geo-mapping for Energy and Minerals (GEM) program and the fourth phase of the Targeted Geoscience Initiative (TGI-4), which are programs of the Earth Sciences Sector, Natural Resources Canada. / Ce levé aéromagnétique et la production de cette carte ont été financés conjointement par le programme «Géomappage de l'énergie et des minéraux (GEM) et la quatrième phase de l'Initiative géoscientifique ciblée (TGI-4)», qui sont des programmes du Secteur des sciences de la Terre, Ressources naturelles Canada.

AEROMAGNETIC SURVEY MISTASTIN BATHOLITH / LEVÉ AÉROMAGNÉTIQUE DE LA RÉGION DU BATHOLITE DE MISTASTIN
 NTS 13 M/11 / SNRC 13 M/11
 NEWFOUNDLAND AND LABRADOR / TERRE-NEUVE-ET-LABRADOR

FIRST VERTICAL DERIVATIVE OF THE MAGNETIC FIELD / DÉRIVÉE PREMIÈRE VERTICALE DU CHAMP MAGNÉTIQUE
 Authors: R. Dumont and A. Jones
 Data acquisition and compilation and map production by Geo Data Solutions GDS Inc., Laval, Québec.
 Contract and project management by the Geological Survey of Canada, Ottawa, Ontario.
 Auteurs: R. Dumont et A. Jones
 Acquisition et compilation des données et production des cartes par Geo Data Solutions GDS Inc., Laval (Québec).
 Gestion et supervision du projet par la Commission géologique du Canada, Ottawa (Ontario).

Scale 1: 50 000 - Échelle 1/50 000
 MAP LOCATION - LOCALISATION DE LA CARTE
 MAP SHEET SUMMARY / SOMMAIRE DES FEUILLETS
 Sheet / Feuillelet
 1. Residual Total Magnetic Field / Composante résiduelle du champ magnétique total
 2. First Vertical Derivative of the Magnetic Field / Dérivée première verticale du champ magnétique
 Recommended citation: Dumont, R. and Jones, A., 2012. Aeromagnetic Survey Mistastin Batholith, NTS 13 M/11, Newfoundland and Labrador, Geological Survey of Canada, Open File 7156, Newfoundland and Labrador Department of Natural Resources, Geological Survey Open File 013M/11/0097, scale 1:50 000.
 Notation bibliographique conseillée: Dumont, R. et Jones, A., 2012. Levé aéromagnétique de la région du Batholite de Mistastin, SNRC 13 M/11, Terre-Neuve-et-Labrador, Commission géologique du Canada, Dossier public 7156, Newfoundland and Labrador Department of Natural Resources, Geological Survey Open File 013M/11/0097, échelle 1:50 000.

